

## КРАТКИЕ СООБЩЕНИЯ

УДК 535.8 : 666.189.211

**ДИСПЕРСИЯ ИМПУЛЬСОВ  
В МНОГОМОДОВОМ ОПТИЧЕСКОМ ВОЛОКНЕ  
С ГРАДИЕНТНЫМ РАСПРЕДЕЛЕНИЕМ  
ПОКАЗАТЕЛЯ ПРЕЛОМЛЕНИЯ**

*С. А. Багаев, М. А. Зальнов, Н. Д. Нечаев,  
Д. К. Саттаров, В. Б. Смирнов и К. М. Фрейверт*

В данной работе сообщается о результатах исследований деформации коротких оптических импульсов в многомодовом волокне типа градан. *M*-образное распределение показателя преломления по диаметру исследованного фосфоросиликатного волокна аналогично приведенному в [1]. Измерения проведены на отрезках волокна длиной

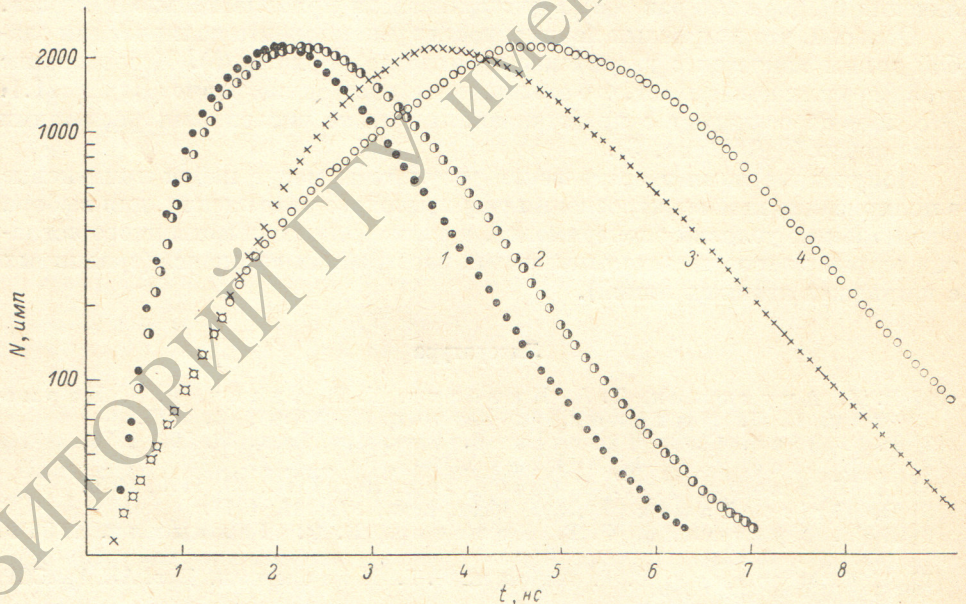


Рис. 1. Форма импульса на входе (кривая 1) и выходе из фосфоросиликатного световода длиной  $L_c=50$  м при  $A_{\text{вх.}}=0.1$  (кривая 2) и  $L_c=630$  м при  $A_{\text{вх.}}=0.05$  (кривая 3) и  $A_{\text{вх.}}=0.1$  (кривая 4).

$L_c=50$  м и  $L_c=630$  м, с диаметром световедущей жилы 40 мкм и наружным диаметром 130 мкм. Номинальная числовая апертура волокна  $A_0=0.135$ . Радиус бобины  $R=113$  мм.

Деформация оптических импульсов определена методом многоканального анализа [2]. Этот метод позволяет измерить временные интервалы между событиями с точностью не хуже нескольких десятков пикосекунд в диапазоне времен до сотен наносекунд. Информация о частоте  $N(t)$  их появления за время измерения  $T$ , накопленная на блоке памяти МВА, дает форму исследуемого оптического сигнала.

По измерениям формы импульса источника излучения (светодиод АЛ-106,  $\lambda_{\text{max}}=0.908$  мкм,  $\Delta\lambda=150$  Å,  $\tau_{0.5}=2$  нс) и импульсов, прошедших в данных условиях эксперимента исследуемый отрезок световода, определены уширение  $\Delta t$  импульса по уровню 3 дБ, среднеквадратичная дисперсия  $\sigma=\sqrt{\tau_2^2-\tau_1^2}$ , где  $\tau_1$  и  $\tau_2$  — длительности по уровню 3 дБ соответственно исходного и прошедшего импульсов и удельное уширение  $\Delta t/L_c$ .

На рис. 1 в полулогарифмическом масштабе представлены исходный импульс и импульсы, прошедшие отрезки волокна длиной  $L_c=50$  и  $630$  м. Импульсы нормированы по максимуму и совмещены по началу. Импульс на выходе волокна длиной  $L_c=50$  м (кривая 2) при возбуждении коническим пучком лучей с апертурой  $A_{\text{вх}}=0.1$  имеет длительность по уровню  $3$  дБ  $\tau_2=2.285$  нс. Среднеквадратичная дисперсия  $\sigma=1.1 \pm 0.2$  нс, удельное уширение  $\Delta\tau/L_c=5.7$  пс/м.

На длине волокна  $L_c=630$  м при  $A_{\text{вх}}=0.05$  (кривая 3) получено уширение  $\Delta\tau=0.7$  нс. Среднеквадратичная дисперсия  $\sigma=1.8 \pm 0.125$  нс,  $\Delta\tau/L_c=1.1$  пс/м. Импульс имеет форму, близкую к симметричной, с экспоненциальными фронтами.

Одновременное возбуждение высших и низших мод в световоде длиной  $L_c=630$  м при  $A_{\text{вх}}=0.1$  приводит к более заметному искажению формы импульсного отклика (кривая 4). Скорость нарастания переднего фронта импульса 3 начиная с уровня  $\sim 10\%$  от максимума снижается. При этом задние фронты импульсов остаются параллельными. Уширение импульса при данных условиях на входе увеличилось до  $\Delta\tau=1.37$  нс. Среднеквадратичная дисперсия  $\sigma=2.69 \pm 0.095$  нс, удельное уширение  $\Delta\tau/L_c=2.2$  пс/м.

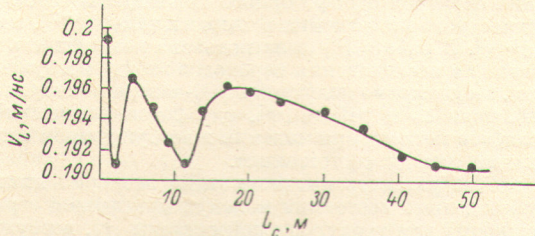


Рис. 2. Зависимость проекции на ось скорости  $V_L$  распространения импульса от длины  $L_c$  световода.

Дальнейшее увеличение апертурного угла конуса лучей на входе ( $A_{\text{вх}}=0.44$ ) практически не изменило форму прошедшего импульса.

Нами измерена также форма выходного импульса при падении конуса лучей с апертурой  $0.05$  под углом  $\alpha=3^\circ$  к оси входного торца волокна. В этом случае излома переднего фронта не наблюдалось, импульс на выходе аналогичен по форме и длительности импульсу 3.

Одновременно с временными исследованиями проведено измерение полных энергетических потерь при насыщении собственной числовой апертуры волокна. Получено значение затухания  $z=8$  дБ/км.

На отрезке волокна длиной  $L_c=50$  м при  $L_c=0.1$  проведено также измерение зависимости от длины волокна проекции на его ось скорости  $V_L$  распространения импульса. Последняя определена по изменению положения максимума прошедшего импульса на калиброванной временной шкале при последовательном уменьшении начальной длины  $L_c$ .

Известно, что результатирующий импульс детектора есть линейная суперпозиция импульсов, переносимых отдельными модами. В формировании максимума импульсного отклика участвует некоторая группа мод, зависящая от апертуры пучка лучей на входе световода и степени его оптико-геометрической регулярности. Таким образом, зависимость  $V_L(L_c)$  характеризует трансформацию модовой структуры распространяющегося по световоду излучения. В реальных световодах и со ступенчатым, и с градиентным профилем показателя преломления эта зависимость имеет осциллирующий характер. Из рис. 2 видно, что на начальных метрах исследованного волокна, где индикаторика светораспределения шире и где конверсия энергии одних мод в другие (в том числе в вытекающие) выражена более ярко, частота осцилляций больше. С увеличением длины световода скорость распространения импульса плавно уменьшается, что свидетельствует о некоторой стабилизации излучения в больших углах распространения. На этот факт указывает и излом переднего фронта импульса 4 (рис. 1). Здесь большая скорость нарастания переднего фронта, соответствующая регистрации группы низших мод, уже на уровне  $10\%$  от максимума замедляется, так как дальнейшее формирование переднего фронта осуществляется только группой высших мод.

По-видимому, представляет интерес изучение зависимости  $V_L(L_c)$  на больших длинах этого волокна с целью экспериментального определения длины установления стационарного режима распространения излучения.

#### Литература

- [1] Ю. В. Гуляев, В. В. Григорьянц, Г. А. Иванов, В. Т. Потапов, В. П. Соснин, Д. П. Трегуб, Ю. Г. Чаноровский, Б. Б. Эленкрайг, Н. А. Коренева. Кvant. elektr., 4, № 11, 1977.
- [2] В. Б. Смирнов, С. А. Багаев, М. А. Зальнов, Н. Д. Нечаев, Д. К. Саттаров, К. М. Фрейверт. Кvant. elektr., 1979.

Поступило в Редакцию 23 марта 1978 г.